

СВОЙСТВА БИЕНИЙ ТРЕХЧАСТОТНОГО ГАЗОВОГО ЛАЗЕРА И ВОЗМОЖНОСТЬ ИХ ИСПОЛЬЗОВАНИЯ ДЛЯ СТАБИЛИЗАЦИИ ЧАСТОТЫ ИЗЛУЧЕНИЯ

А. С. Башкин, Э. М. Беленов, С. А. Гончуков,
А. Н. Ораевский, В. Н. Петровский, Е. Д. Проценко

1. В последнее время наблюдаются существенные успехи в области создания квантовых генераторов с высокостабильным по частоте излучением. Обычно в этих случаях используются резкие атомные резонансы, служащие в качестве частотных дискриминаторов. Это позволяет с большой точностью поддерживать частоту излучения лазера относительно центра атомного резонанса /1,2/.

В этой работе мы сообщаем об исследовании некоторых свойств биений в трехчастотном газовом лазере и возможности применения их для высокой стабилизации частоты излучения.

2. Известно, что частота излучения лазера $\nu_{\text{л1}}$ отличается от частоты резонатора $\nu_{\text{р1}}$, что обусловлено наличием фазового сдвига на частоте генерации за счет введения среды /3,4/.

Это обстоятельство приводит к сложному закону изменения расстояния Δ между аксиальными модами в зависимости от разности $x = \nu_0 - \nu_2$, обязанному в первую очередь нелинейным эффектам:

$$\Delta = c/2L + F$$

где ν_0 и ν_2 - частоты центра линии и центрального типа колебаний соответственно, c - скорость света,

L – расстояние между зеркалами резонатора, F – функция расстройки и поля лазера.

Если межмодовое расстояние поддерживать постоянным за счет сравнения с частотой опорного радиогенератора $\nu_{\text{оп}}$ со стабильностью $S_{\text{оп}} = \nu_{\text{оп}} / \Delta\nu_{\text{оп}}$, то стабильность частоты лазера равна

$$S_n = S_{\text{оп}} \frac{\nu_n}{\nu_{\text{оп}}} \frac{d\Delta}{dx}; \quad (1)$$

$d\Delta/dx$ – крутизна частотной характеристики в рабочей точке. С учетом сказанного выше можно считать $d\Delta/dx = dF(x)/dx$.

При таком способе стабилизации абсолютная нестабильность оптической частоты определяется абсолютной нестабильностью радиочастоты и крутизной частотной характеристики. Крутизна $dF(x)/dx$, как будет показано ниже, составляет $10^{-2} - 10^{-3}$, что позволяет получить относительную стабильность частоты лазера на три-четыре порядка выше стабильности частоты опорного радиогенератора.

3. Экспериментальные исследования были проведены на Не-Не²⁰ лазере с длиной волны 0,63 мк. Резонатор типа Фабри-Перо был образован двумя внешними зеркалами. Лазер обеспечивал генерацию трех или двух аксиальных мод (в зависимости от настройки) с межмодовым расстоянием 400 Мгц. Экспериментальная установка позволяла измерять сигнал биений между генерируемыми модами, регистрировать изменение межмодового расстояния в зависимости от расстройки и контролировать спектр излучения при различных параметрах лазера.

На рис. 1а приведена типичная зависимость межмодового расстояния от расстройки. Менее глубокий минимум соответствует симметричной настройке двух мод относительно центра линии, более глубокий – симметричной настройке трех мод.

Для стабилизации частоты излучения лазера можно

использовать свойства частотной характеристики, представленной на рис. 1а,б в области симметричной настройки трех мод. В этой области зависимость имеет наибольшую крутизну и достигает своего минимального значения. Вероятно полезным является также тот факт, что при симметричной настройке трех мод ν_1 , ν_2 , ν_3 средняя оптическая частота ν_2 совпадает с центром линии ν_0 и выполняется равенство $\Delta_{12} = \Delta_{23} = \Delta_0$.

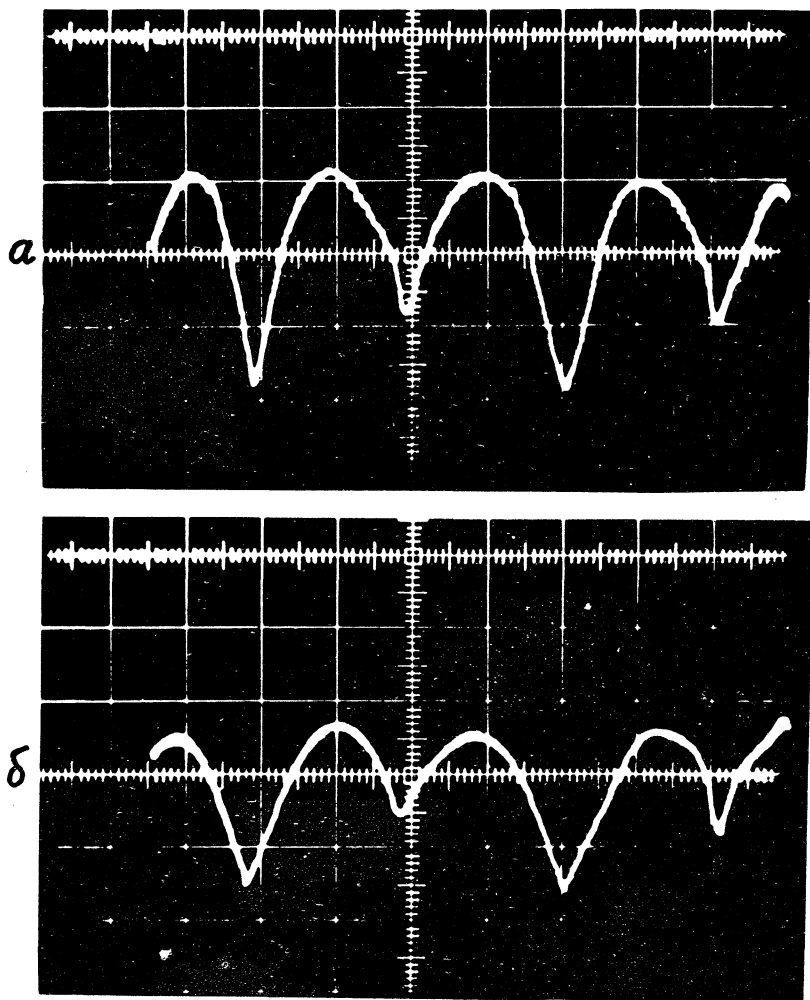
Изменение параметров лазера, вызванное той или иной причиной, оказывает влияние как на крутизну частотной характеристики (это видно, например, из сравнения рис. 1а и рис. 1б), так и на значение межмодового расстояния Δ_0 . Указанный факт может ухудшить стабильность частоты лазера.

На рис. 2 представлено поведение крутизны частотной характеристики в области отстройки на 20 МГц от симметричного положения трех мод в зависимости от давления газа и выходной мощности излучения лазера, регулируемой потерями внутри резонатора.

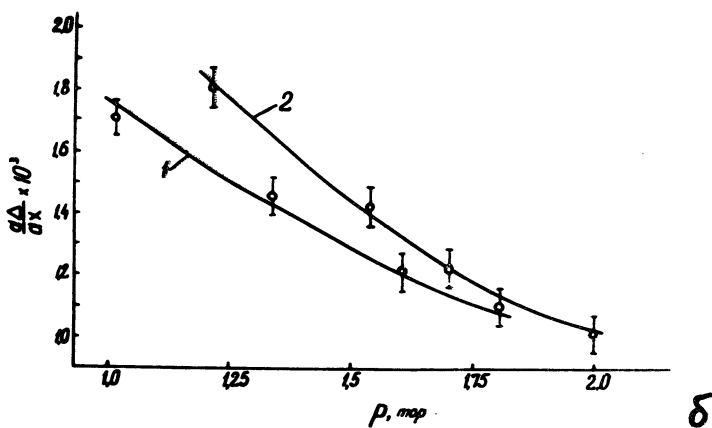
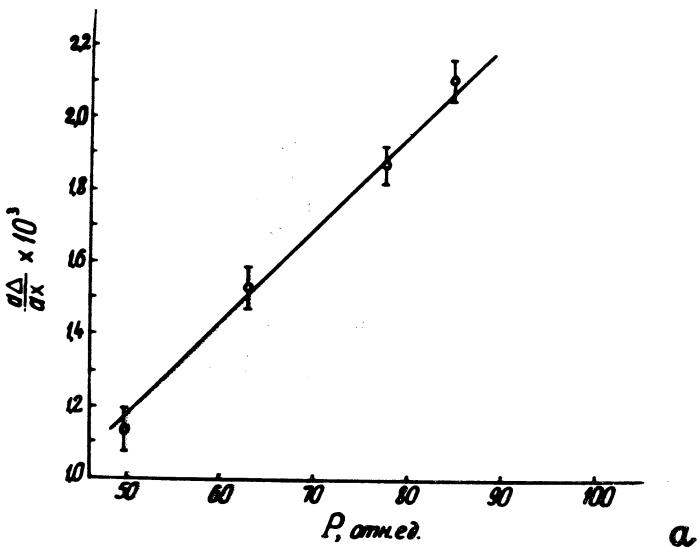
Наблюдается рост крутизны с увеличением выходной мощности излучения, имеющей линейный характер, что понятно, поскольку увеличение интенсивности соответствует росту нелинейных эффектов (рис. 2а). Зависимость крутизны от давления (рис. 2б) обнаруживает спад, вызванный в основном соответствующим ростом однородной ширины линии.

С учетом приведенных результатов видно, что изменение значения выходной мощности или давления газа на 1% приведет к изменению коэффициента стабилизации в пятом знаке, что указывает на весьма слабое влияние этого фактора.

Было проведено также исследование влияния давления газа на межмодовое расстояние при симметричной настройке трех мод для случая, когда разрядный ток i и мощность излучения P не поддерживаются постоянными и тоже меняются при изменении давления. Такая зависимость представляет существенный интерес, поскольку изменение давления газа в лазерных трубках также приводит к соответственному изменению i и P .



Р и с. 1. Типичные осциллограммы поведения межмодового расстояния от расстройки, снятые для двух значений давления газа: а - 1,3 тор и б - 1,8 тор. Один сантиметр по оси абсцисс (расстройка) соответствует 100 Мгц, по оси ординат (биения) - 35 Кгц.



Р и с. 2. Зависимость крутизны частотной характеристики (при отстройке на 20 МГц от симметричного положения трех мод) а) от выходной мощности излучения для давления газа 1,8 тор и б) от давления газа для двух значений мощности: Р = 60 отн. ед. (1) и 2-Р = 86 отн. ед. (2).

Указанная зависимость представлена на рис. 3 для трех различных начальных токов разряда. Наблюдается рост Δ_0 в области малых давлений, при больших давлениях зависимость выходит на плато. В области плато Δ_0 имеет в пределах ошибки измерения (~ 10 КГц) одинаковые значения при различных токах, отличающихся на $\sim 40\%$. Это указывает на очень слабую зависимость $\Delta_0 = f(i)$ для больших давлений p .

Очевидно, что значения p , соответствующие области плато, являются наиболее пригодными при выборе параметров стабилизируемого лазера.

4. Для объяснения полученных результатов была использована теория Лэмба /4/. Можно показать, что в трехмодовом режиме генерации в области малых расстроек $x \ll 1$ ($x = \nu_2 - \nu_0$) выражение для межмодового расстояния имеет вид /7/

$$\Delta_{12} = \Delta(1 + s) + \frac{E^2 \pi \nu d^4 N}{16 \epsilon_0 h^3 \gamma_a \gamma_b k u} \frac{\gamma_{ab}}{\Delta} \left\{ \frac{\Delta^2}{\Delta^2 - x^2} + 3 + \frac{2\Delta^2}{\Delta^2 - 4x^2} \right\}, \quad (2)$$

где приняты те же обозначения, что и в /4/.

Вводя коэффициент относительного возбуждения $\eta = N/N_T$, безразмерную интенсивность поля $I = d^2 E^2 / 2 \hbar^2 \gamma_a \gamma_b$ и ширину полосы резонатора ν/Q , из (2) при $x \ll \gamma_{ab}$ нетрудно получить следующее выражение:

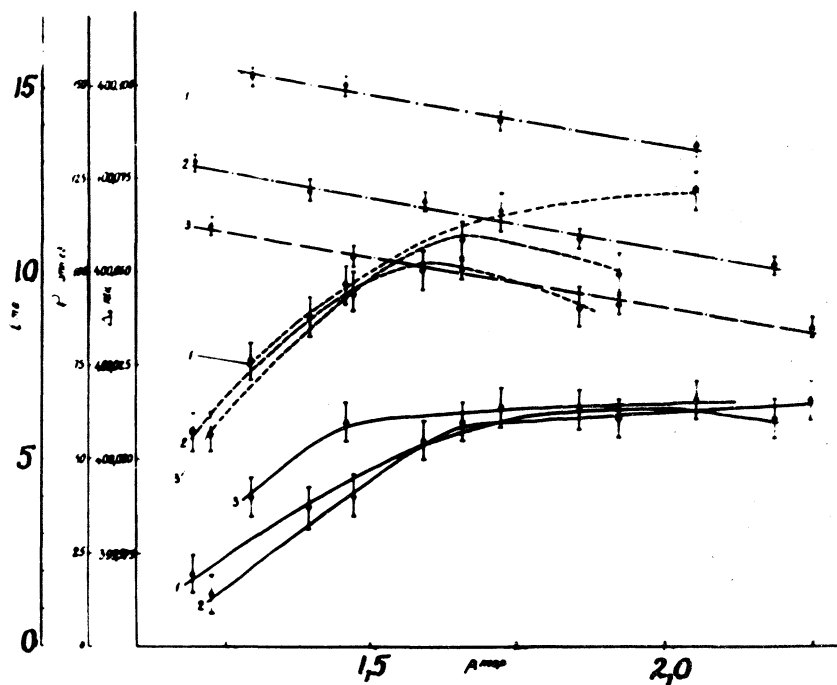
$$\Delta_{12} = \Delta(1 + s) + \frac{3 \nu}{4 Q} \frac{\gamma_{ab}}{\Delta} I_0 \left[1 + \frac{1}{2} \left(\frac{x}{\gamma_{ab}} \right)^2 \right], \quad (3)$$

где I_0 — интенсивность при $x = 0$.

Из (3) для крутизны $d\Delta/dx$ получаем

$$\frac{d\Delta}{dx} = - \frac{3 \nu}{4 Q} \frac{I_0}{\Delta} \frac{x}{\gamma_{ab}}. \quad (4)$$

При типичных условиях эксперимента ($\nu/Q \sim 10^6$, $\eta \sim 1$, $I_0 \sim I$, $\Delta \sim 4 \cdot 10^8$ Гц, $\gamma_{ab} \sim 10^6$ Гц) из (4) полу-



Р и с. 3. Зависимости Δ_0 (сплошные линии), P (штриховые линии) и i (штрихпунктирные линии) от давления газа.

чаем $d\Delta/dx \sim 10^{-3}$, что находится в согласии с экспериментальными результатами.

Выражение (4) указывает на линейный рост крутизны при увеличении мощности Р и ее уменьшение с ростом давления p, так как $\delta_{ab} \sim p$, что также совпадает с экспериментальными результатами (рис. 2).

Наконец, зависимость Δ_0 (симметричная настройка трех мод) от давления (рис. 3) можно объяснить соответствующим поведением величин $P(p)$, $\delta_{ab}(p)$ и $\eta(P, i)$ в формуле (3).

Поступила в редакцию

8 декабря 1970 г.

После переработки

18 мая 1971 г.

Л и т е р а т у р а

1. R. L. Barger, J. L. Hall. Phys. Rev. Lett., 22, 4 (1969).
2. Н. Г. Басов, Э. М. Беленов, М. В. Данилайко, В. В. Никитин, А. Н. Ораевский. Письма в ЖЭТФ, 12, 145 (1970).
3. W. R. Bennett. Phys. Rev., 126, 580 (1962).
4. W. E. Lamb. Phys. Rev., 134, A1429 (1964).
5. R. A. McFarlane. Phys. Rev., 135, A543 (1964).
6. M. D. Sayers, L. Allen. Phys. Rev., 1, A1730 (1970).
7. А. С. Башкин, Э. М. Беленов, С. А. Гончуков, А. Н. Ораевский, В. Н. Петровский, Е. Д. Проценко. "Квантовая электроника", 2, 40 (1971).